

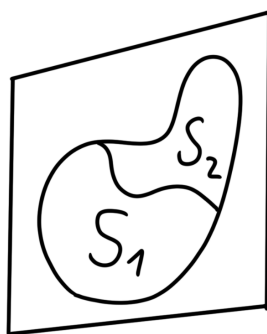
1. Интеграл Кирхгофа (поле дифрагированной волны) легко рассчитать на оси круглого отверстия. Вне оси это можно сделать разложением  $e^{ikR}$  по функциям Бесселя, либо разбиением поверхности вторичных источников на зоны Френеля (местами части колец) и интегрированием по азимутальному углу.

В итоге из-за аксиальной симметрии задачи вне оси наблюдается несколько светлых и темных колец (число  $\approx$  число зон Френеля в отверстии).

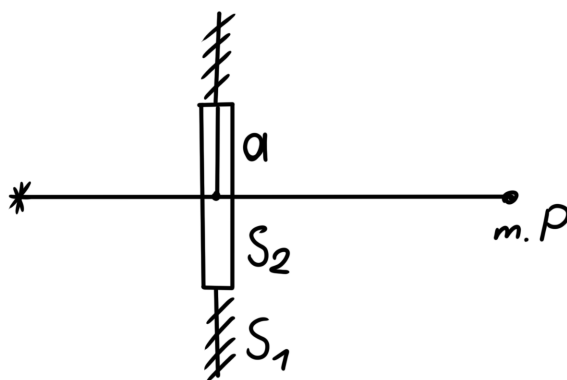
2. Принцип Бабинне работает для произвольных отверстий и дополняющих экранов (так как в основе лежит интеграл, то вклад подобластей аддитивен).

$$S_2 = S_1 \oplus S_2 \Rightarrow E_{p3} = E_{p1} + E_{p2}$$

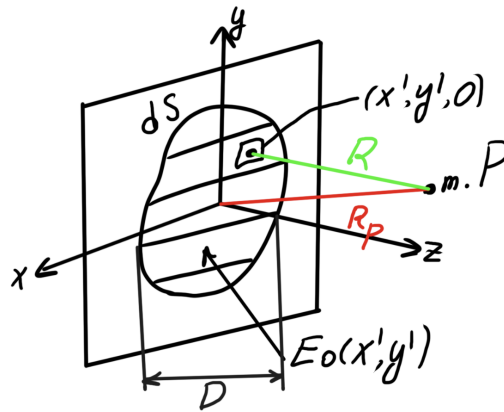
Пример:



$$E_p = E_{p0} - E_{p0}(1 - e^{ik(R_0-r)})$$



Классификация различных видов дифракции:



$$dS = dx' dy', \quad R_p = x^2 + y^2 + z^2$$

$$E_p(x, y, z) = \frac{k}{2\pi i} \iint E_0(x', y') \frac{e^{ikR}}{R} dS_n$$

Предположения волны падают на отверстие с небольшими углами и точка  $P$  лежит недалеко от оси.

$$R = \sqrt{(x - x')^2 + (y - y')^2 + z^2} = \sqrt{x^2 + y^2 + z^2 - 2xx' - 2yy' + (x')^2 + (y')^2} = [R_p \gg x', y'] \approx$$

$$\approx R_p \left( 1 - \frac{xx'}{R_p^2} - \frac{yy'}{R_p^2} + \frac{(x')^2}{2R_p^2} + \frac{(y')^2}{2R_p^2} + \dots \right)$$

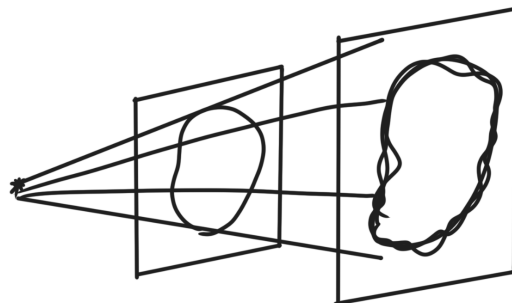
$$1 \text{ случай: } k \frac{(x')^2}{R_p^2} \ll \pi \Rightarrow \frac{D^2}{\lambda R_p} \ll 1 \quad \frac{D^2}{\lambda R_p} = P_{\Phi} - \text{параметр Френеля}$$

$$\Rightarrow P_{\Phi} \ll 1 \quad (a_m = \sqrt{m\lambda r} \approx \sqrt{m\lambda R_p})$$

Из  $P_{\Phi} \ll 1 \Rightarrow D \ll a_1 = \sqrt{\lambda R_p}$  - дифракция Фраунгофера (самый простой вид дифракции)

2 случай:  $P_{\Phi} \sim 1$  - сложная картина дифракции - дифракция Френеля.

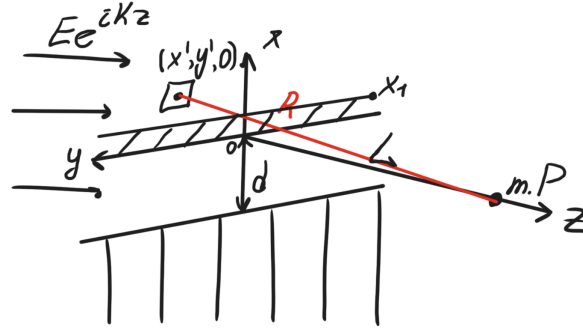
3 случай:  $P_{\Phi} \gg 1$  = геометрическая оптика



Справа это изображение отверстия

Вблизи изображения отверстия будут видны дифракционные полосы.

Дифракция волны на границе  $\infty$  плоского экрана:



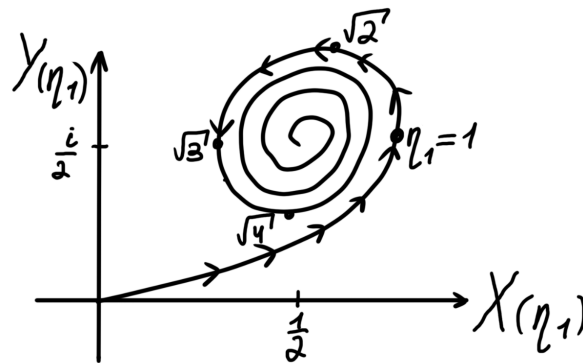
$$E_p = \frac{k}{2\pi i} \iint dx' dy' \frac{e^{ikR}}{R} E_0$$

$$R = \sqrt{(x')^2 + (y')^2 + L^2} \approx L \left( 1 + \frac{(x')^2}{2L^2} + \frac{(y')^2}{2L^2} + \dots \right) \approx L + \frac{(x')^2}{2L} + \frac{(y')^2}{2L}$$

$$E_p = \frac{k}{2\pi i} \frac{E_0}{L} e^{ikL} \int_{-\infty}^{\infty} e^{ik\frac{(y')^2}{2L}} dy' \int_{-d}^{\infty} e^{ik\frac{(x')^2}{2L}} dx' = \frac{kE_0 e^{ikL}}{2\pi i L} \sqrt{\frac{\pi 2L}{-ik}} \int_{-d}^{\infty} e^{ik\frac{(x')^2}{2L}} dx'$$

$$E_p = E_0 e^{ikL} \sqrt{\frac{k}{2\pi i L}} \int_{-d}^{\infty} e^{ik\frac{(x')^2}{2L}} dx'$$

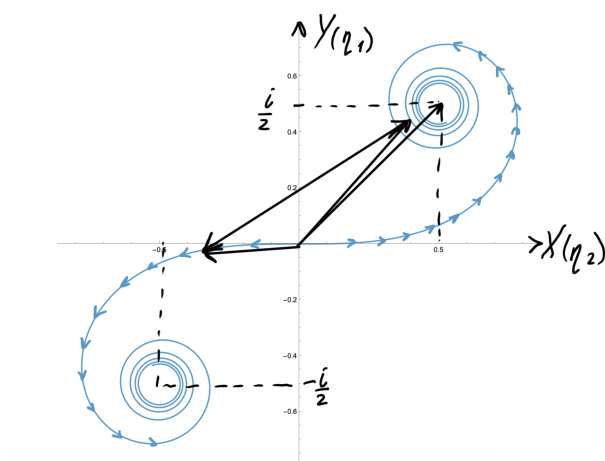
$$\int_0^{x_1} e^{ik\frac{(x')^2}{2L}} dx' = \left[ \eta = x' \sqrt{\frac{2}{\lambda L}} \right] = \sqrt{\frac{\lambda L}{2}} \int_0^{\eta_1} e^{i\frac{\pi}{2}\eta^2} d\eta = \sqrt{\frac{\lambda L}{2}} \left( \underbrace{\int_0^{\eta_1} \cos\left(\frac{\pi\eta^2}{2}\right) d\eta}_{X(\eta_1)} + i \underbrace{\int_0^{\eta_1} \sin\left(\frac{\pi\eta^2}{2}\right) d\eta}_{Y(\eta_1)} \right)$$



$$\int_0^{\infty} e^{i\frac{\pi}{2}\eta^2} d\eta^2 = \frac{\sqrt[2]{2i}}{2} = \frac{i+1}{2}$$

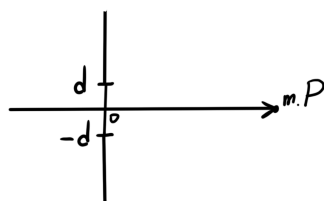
$$\int_{-|x_1|}^0 e^{ik\frac{(x')^2}{2L}} dx' = \sqrt{\frac{\lambda L}{2}} \int_{\eta_1 < 0}^0 e^{i\frac{\pi}{2}\eta^2} d\eta = \sqrt{\frac{\lambda L}{2}} \int_0^{|\eta_1|} e^{i\frac{\pi}{2}\eta^2} d\eta$$

Тогда графически это влечет следующие изменения:



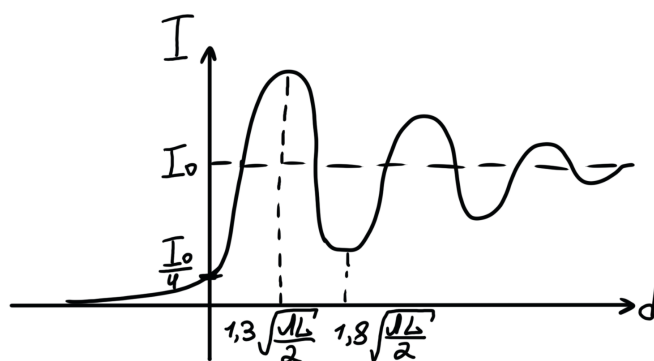
Спираль Корню.

1.  $d > 0$ , точка P находится над экраном



$$d \gg \frac{\sqrt{\lambda L}}{2}$$

$$E_p = E_0 e^{ikL} \sqrt{\frac{1}{i\lambda L}} \left( \underbrace{\int_0^\infty}_{\frac{1}{2}(1+i)} + \underbrace{\int_{-\infty}^0}_{\frac{1}{2}(1+i)} \right) \frac{\sqrt{\lambda L}}{2} = E_0 e^{ikL}$$



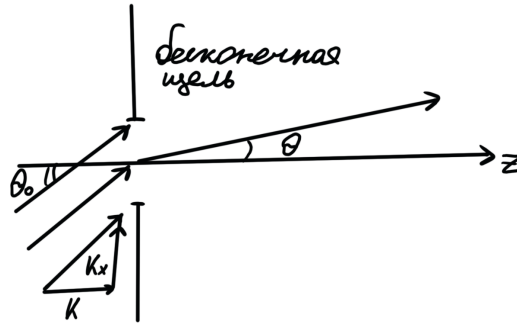
$$I_0 = \frac{|E_p|^2}{2} = \frac{|E_0 e^{ikL}|^2}{2} = \frac{|E_0|^2}{2} = I_0$$

Дифракция Фраунгофера:  $P_\Phi = \frac{D^2}{\lambda R_p} \ll 1 \Rightarrow \Delta r \ll \lambda$

$$R \approx R_p \left( 1 - \frac{xx'}{R_p^2} - \frac{yy'}{R_p^2} \right) = R_p - \frac{\lambda}{R_p} x' - \frac{y}{R_p} y'$$

$$\begin{aligned} E_p &= \frac{k}{2\pi i R_p} \iint dx' dy' E(x', y') \exp \left( ik \left[ R_p - \frac{x}{R_p} x' - \frac{y}{R_p} y' \right] \right) \cos \theta_0 = \left[ k_x = k \frac{x}{R_p}, k_y = k \frac{y}{R_p} \right] = \\ &= \frac{k e^{ikR_p}}{i R_p} \frac{1}{2\pi} \iint dx' dy' E(x', y') e^{-ik_x x' - ik_y y'} \cos \theta_0 = \frac{k e^{ikR_p}}{i R_p} \hat{E}(k_x, k_y) \cos \theta_0 \end{aligned}$$

Случай длинных по  $y$  щелей  $\Rightarrow$  удобно использовать интеграл Кирхгофа с цилиндрическими волнами:



$$E_p = \sqrt{\frac{k}{2\pi i}} \int_{-\frac{d}{2}}^{\frac{d}{2}} E(x') \frac{e^{ikR}}{\sqrt{R}} dx' \cos \theta_0$$

Распишем компоненты:

$$E(x') = E_0 e^{ik_0 \sin \theta_0 x'} \quad k_{0x} = k \sin \theta_0 = k \frac{x}{R_p} \quad e^{iRk} = e^{ikR_p - ik_x x}$$

Итог:

$$E_p = \sqrt{\frac{k}{2\pi i R_p}} \int_{-\frac{d}{2}}^{\frac{d}{2}} E_0 e^{ik_0 \sin \theta_0 x' - ik \sin \theta x'} dx' e^{ikR_p} \cos \theta_0$$